

## طراحی ابزارهای اپتیکی بر مبنای یک سیستم فتوستتزی به منظور افزایش کارایی در فرایند جذب پرتو لیزر

### چکیده

**مقدمه:** امروزه پیشرفت‌های قابل توجهی در جهت استفاده از مواد بیولوژیکی تجدیدپذیر به عنوان ابزار ذخیره انرژی، به وجود آمده است. این ابزارها به عنوان راه‌حلی برای مشکل آلودگی و ناپایداری با توانایی ذخیره‌سازی انرژی به شمار می‌روند. از طرفی تبدیل گرما به توان تولیدی به صورت کارپردی بسیار قابل توجه است. بر این اساس استفاده از یک سیستم بیولوژیکی به عنوان ابزار ترموکارنت و ترموپاور می‌تواند بسیار جذاب و مورد توجه باشد.

**روش بررسی:** در این مطالعه، برای مطالعه توانایی تولید جریان ناشی از گرادیان دما از یک سیستم فتوستتزی، کلروزوم، استفاده کرده‌ایم. به منظور اعمال حرارت روی سلول و بررسی شرایط ایجاد و هدایت جریان‌های الکتریکی ناشی از حرارت محیط از لیزر مادون قرمز استفاده می‌شود. سیستم تحت تابش نور لیزر قرار گرفته و گرم می‌شود که برای بررسی اثرات گرمایی ناشی از تابش لیزر از مدل‌سازی تماس مستقیم سیستم با ترموستات کوانتومی استفاده کرده‌ایم. از طرفی، به منظور به دست آوردن ضریب سی‌بک از الکترودهای فلزی استفاده کرده ایم تا بتوانیم در دو انتهای سیستم اختلاف پتانسیل الکتریکی ایجاد کنیم.

**یافته‌ها:** مقدار جریان عبوری و مقدار ولتاژ تولیدی به‌ازاء گرادیان دمای متفاوت حالت صعودی داشته و حداکثر می‌تواند به مقدار  $36/6 \text{ nA}$  و  $37/0$  دست پیدا کند که امکان طراحی و ساخت ابزارهایی با توان  $11/1 \text{ nW}$  را به ما می‌دهد. ضریب سی‌بک به مقداری برابر  $41/916 \text{ mV/K}$  رسیده که نسبت به دیگر سیستم‌های بیولوژیکی مقدار قابل توجهی است. نمودار  $I - \delta V - \delta T$  دماهای  $30$  و  $50$  کلوین را برای حداکثر جریان عبوری از سیستم مشخص کرده است. نمودار توزیع ترازها و بعد فرکتالی نشان‌دهنده پایداری کامل و غیرجای‌گزیده بودن سیستم به‌ازاء این گرادیان دما و ولتاژ است.

**نتیجه‌گیری:** کرم‌فورها به عنوان منابع جذب در محیط‌های بکارگیری پرتو لیزر می‌توانند به عنوان چشمه‌هایی برای افزایش فرایند جذب و تبدیل شار فوتونی لیزر به چشمه الکترونی و یا فونونی عمل کنند و امکان کنترل و هدایت فرایند انتقال انرژی چشمه فوتونی را به محیط‌های مورد نیاز فراهم نمایند. مطالعه حاضر به طراحی و مهندسی چشمه‌های نوری بر مبنای سیستم فتوستتزی برای افزایش کارایی در فرایند جذب تابش لیزر می‌پردازد. مقدار جریان الکتریکی بدست آمده و توان تولیدشده برای سیستم در حدی است که قابل مقایسه با دیگر سیستم‌های بیولوژیکی و نشان‌دهنده قابلیت این سیستم‌ها به عنوان ابزار ترموکارنت و ترموپاور است. ضریب سی‌بک نیز نسبت به دیگر سیستم‌های بیولوژیکی مقدار قابل توجهی است. از طرفی، سیستم در مقابل گرادیان دمای ناشی از تابش نور و ولتاژ اعمالی به صورت پایدار و غیرجای‌گزیده رفتار می‌کند.

**واژه‌های کلیدی:** سیستم فتوستتزی، ترموکارنت، ضریب سی‌بک، توزیع آماری ترازها، بعد فرکتالی.

یریسا حسین‌نژاد<sup>۱</sup>  
سهراب بهنیا<sup>۲</sup>  
سمیرا فتحی‌زاده<sup>۳\*</sup>

۱- دکتری، گروه فیزیک، دانشگاه صنعتی ارومیه، ارومیه، ایران  
۲- استادیار، گروه فیزیک، دانشگاه صنعتی ارومیه، ارومیه، ایران  
۳- استادیار، گروه فیزیک، دانشگاه صنعتی ارومیه، ارومیه، ایران

نویسنده مسئول: سمیرا فتحی‌زاده  
پست الکترونیکی:

s.fathizadeh@sci.uut.ac.ir

۰۴۴۳۱۹۸۰۲۲۹

شماره تماس:

## مقدمه

استفاده از منابع انرژی فعلی مانند سوخت‌های فسیلی، حداکثر برای یک قرن دیگر جوابگو خواهد بود و نیاز به جایگزینی مناسب با ریسک کمتر دارد. منابعی که مشکلات سابق چون آلودگی، تولید گازهای گلخانه‌ای که تهدیدی برای سلامت انسان‌ها و گرمایش جهانی است را نداشته باشند. انرژی به عنوان جدی‌ترین مسئله قرن ۲۱ مطرح است [۱]. از طرفی، فرآیند فوسنتز به عنوان منشاء انرژی طبیعت، مسئول حفظ زندگی بر روی کره زمین بوده است. این فرایند بسیار بهینه، با ظرفیت بالا در استفاده از نور خورشید است. انرژی که در اثر فوسنتز می‌تواند روی زمین ذخیره شود ۱۰ برابر انرژی است که انسان‌ها روزانه استفاده می‌کنند [۲]. بنابراین الهام از طبیعت برای ساختن منابع و ذخیره‌سازی انرژی بسیار قابل توجه است. تکنولوژی ترموالکترونیک توانایی ذخیره مستقیم توان الکتریکی را از گرما دارد و مواد ترموالکترونیک از طریق تبدیل مستقیم گرما به الکتریسیته به عنوان ابزارهای ذخیره‌کننده انرژی که دوستار محیط زیست است به شمار می‌روند. این ابزارها قابلیت تبدیل گرمای تلف شده را به الکتریسیته دارند، که به صورت موثر و کاربردی به عنوان ابزاری بهینه در جهت تولید و گسترش ابزارهای ساختار نانو به کار می‌روند [۳ و ۴]. استفاده از سیستم فوسنتزی برای ساخت و ذخیره ی جریان الکتریکی و تعیین شرایطی است که این سیستم بتواند بهترین عملکرد خود را داشته باشند است. بدین منظور برای مطالعه توان تولیدی و قابلیت ترموکارنت یک سیستم فوسنتزی از کلروزوم که در آنتن باکتری‌های سولفوری سبز یافت می‌شود، استفاده کردیم. تلاش ما نیز در جهت استفاده از سیستم فوسنتزی برای ساخت و ذخیره جریان الکتریکی و تعیین شرایطی است که این سیستم بتواند بهترین عملکرد خود را داشته باشند است. تحقیقات اخیر به دنبال استفاده از انرژی فوسنتزی و اثبات این نکته است که می‌تواند تاثیر عملی عالی در آینده نزدیک داشته باشد. بدین منظور برای مطالعه ی توان تولیدی، ضریب سی‌بک و پایداری سیستم، از یک سیستم فوسنتزی از کلروزوم که در آنتن باکتری‌های سولفوری سبز یافت می‌شود، استفاده شده است. برهمکنش گرمایی از جمله

واکنش‌هایی است که هنگام تابش لیزر بر روی سیستم‌های بیولوژیک ایجاد می‌شود و کاربرد بسزایی در لیزر پزشکی دارد. در این کار، گرادیان دما ناشی از تابش نور لیزر توسط اتصال ترموستات کوانتومی، در قالب نوسانگرهایی که به کروموفرها متصل شده‌اند، مدلسازی می‌شود. از طرفی، گرادیان ولتاژ توسط اتصال الکترودهای فلزی به دو انتهای سیستم ایجاد می‌شود و جریان عبوری از سیستم، به‌ازاء گرادیان دما و گرادیان ولتاژهای مختلف به‌دست می‌آید. براساس نمودار I-V و مشخص کردن نواحی شبه‌اهمی مقاومتی که سیستم در برابر عبور جریان از خود نشان می‌دهد به‌دست می‌آید. در ادامه نمودار ولتاژ برحسب گرادیان دما به‌دست می‌آید و میتوانیم توان تولیدی سیستم را تخمین بزنیم. براساس نمودار  $I - \delta V - \delta T$  و تخمین توان تولیدی و ضریب سی‌بک، می‌توانیم با مشخص کردن دماهایی که جریان حداکثری از سیستم عبور می‌کند، پایداری سیستم را به‌ازاء این دماها با روش توزیع آماری ترازها و بعد فرکتالی مطالعه کنیم.

## روش بررسی

برای کلروزوم ساختارهای متفاوت - ساختار سیلندری با حلقه‌هایی به فاصله یکسان که روی هم چیده‌شده تا ساختار قطبیده هلیکال پیشنهاد شده است. ما ساده‌ترین مدل شامل ۵ حلقه که ۱۸ مولکول کروموفر روی هر حلقه جای گرفته را انتخاب می‌کنیم. هامیلتونین سیستم برای این مدل، هامیلتونین فرنکل است که به شکل زیر تعریف می‌شود [۵]:

$$H_s = \sum_n \varepsilon_n a_n^+ a_n + \sum_{n \neq m} J_{nm} a_n^+ a_m \quad (1)$$

که  $\varepsilon_n$  ها انرژی برانگیختگی تک‌سایت و  $J_{nm}$  ثابت جفت‌شدگی بین سایت‌ها است.  $(a_n^+) a_n$  عملگر خلق (فنا) ذره روی سایت  $n$  ام است. علاوه‌بر آن سیستم در محیطی قرار گرفته که ناگریز از اندرکنش با محیط پیرامون خود است. مدل‌هایی که برای توصیف محیط (حمام گرمایی) به‌کار می‌روند معمولاً به صورت حمام بوزونی و فونونی تعریف می‌شود [۶]. حمام فونونی به صورت نوسان‌گرهایی که با کروموفرهای سیستم اندرکنش دارند مدل شده

می‌دهیم. رابطه هامیلتونی برای این الکترودها و اتصالشان به سیستم به صورت زیر است:

$$H_{lead} = \sum_k (\varepsilon_k + \frac{eV}{2}) c_k^+ c_k + \sum_{k \neq l} J_{kl} c_k^+ c_l \quad (4)$$

$$H_{s-lead} = \sum_{n \neq k} (J_L c_n^+ c_k + J_R c_k^+ c_n) + H.c. \quad (5)$$

به منظور محاسبه جریان عبوری از سیستم در اثر گرادیان دما، با استفاده از رابطه پایستگی می‌توان جریان موضعی که از سایت  $n$  ام می‌گذرد را به صورت زیر محاسبه کرد [۹]:

$$I_n = \frac{d(eN_n)}{dt} = \frac{-ie}{\hbar} [a_n^+ a_n, H] \quad (6)$$

مقدار به دست آمده، جریان موضعی گذرنده از سایت  $n$  ام را بدست می‌دهد. جریان کل الکتریکی را می‌توانیم با جمع تمام جریان‌های موضعی عبوری از سایت‌های سیستم بدست آوریم:

$$I = \sum_n I_n \quad (7)$$

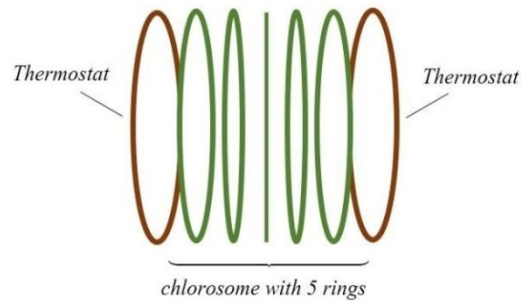
جریان مورد محاسبه از طریق تعریف معادله تحول تعداد بارهای هر سایت به عنوان تابع (*function*) و با انتخاب طول گام‌های مناسب و محاسبات عددی (ODE45 در MATLAB)، می‌توانیم جریان عبوری از سیستم را بدست آوریم. نمودار جریان بر حسب گرادیان دما و گرادیان ولتاژ به صورتی که در شکل ۲ نشان داده شده است، به دست می‌آید. همان‌گونه که از شکل مشخص است با افزایش گرادیان دما جزیره‌هایی با جریان معکوس ظاهر می‌شوند. شدت جریان قابل توجه در این نمودار به ازاء دو گرادیان دما ۳۰ کلوین و ۵۰ کلوین و گرادیان ولتاژ ۴ ولت اتفاق می‌افتد. بر این اساس برای این سیستم با چنین ویژگی‌هایی می‌توانیم به توان تولیدی حدود ۱۱۸ nW برسیم.

است. لذا هامیلتونین حمام و هامیلتونین اندرکنش به صورت زیر تعریف می‌شود [۵]:

$$H_{bath} = \sum_q \hbar \omega_q b_q^+ b_q \quad (2)$$

$$H_{s-bath} = -\frac{1}{N} \sum_n \sum_q g \omega_q a_n^+ a_n (b_q e^{iqn} + b_q^+ e^{-iqn}) \quad (3)$$

که  $\omega$  فرکانس مدهای فونونی،  $g$  ثابت جفت‌شدگی سیستم حمام و  $b_n^+ b_n$  عملگر خلق (فنا) فونون است. شکل (۱) یک توصیف کلی از سیستم مورد مطالعه را نشان می‌دهد.



شکل ۱: تصویر شماتیک از مدل مورد مطالعه

حال به منظور ایجاد گرادیان دما از ترموستات استفاده می‌کنیم. به دلیل آنکه سیستم، کوانتومی است و می‌خواهیم مطالعه‌ای به صورت کوانتومی داشته باشیم نیاز داریم که از ترموستات کوانتومی بهره ببریم. پیش از این تلاش‌هایی در جهت توصیف این نوع ترموستات انجام شده بود [۷] ولی منجر به رابطه هامیلتونی نشده بود. با استفاده از معادل کوانتومی هامیلتونی نویز، ترموستات کوانتومی ایجاد شد که مطابق شکل ۱ به صورت نوسان‌گرهایی به کروموفورهای حلقه اول و آخر سیستم متصل شد. یک سمت در دما اتاق ثابت نگه داشته شده و سمت دیگر در رنج دمای [۲۷۳-۳۴۰] کلوین تغییر دادیم. با توجه به اینکه ساختار فوتوسنتزی در دمای بالا تر از ۳۷۰ کلوین از بین می‌رود [۸]، بیشترین گرادیان دما را تا ۳۴۰ کلوین انتخاب می‌کنیم. به منظور ایجاد گرادیان ولتاژ دو الکترودها را به دو انتهای سیستم متصل می‌کنیم. یکی از لیدها را در ولتاژ صفر نگه داشته و ولتاژ الکترودها دوم را در رنج [۰-۴]V تغییر

الکتریکی به دست آمده متناسب با اختلاف دمای اعمالی به سیستم است. ضریب تناسب تحت عنوان ضریب سی بک نام گذاری شده است. به طور عملی ضریب سی بک از رابطه زیر به دست می آید:

$$\Delta V = S \Delta T \quad (۸)$$

که مقدار به دست آمده برای سیستم فتوسنتزی برابر  $S = 41.916 \text{ mV/K}$  است که نسبت به دیگر سیستم های بیولوژی بسیار قابل توجه است [۱۰]. در ادامه به مقایسه پایداری سیم در دو دما پیشنهادی توسط شکل ۲ می پردازیم تا گرادیان دما و ولتاژی که به ازاء آن سیستمی پایدار با حداکثر جریان را داشته باشیم، تعیین کنیم.

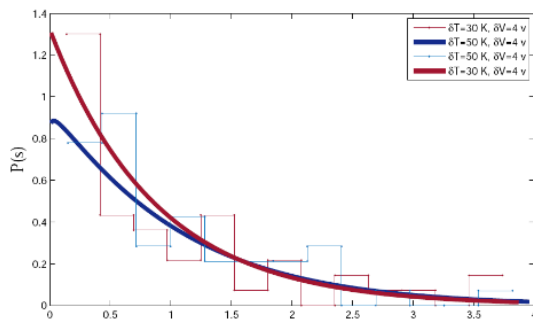
مطالعات آماری نشان می دهند که توزیع نزدیکترین فاصله ترازاها برای سیستم های کاملاً منظم و پایدار به صورت توزیع پواسون می باشد:

$$P(s) = e^{-s} \quad (۹)$$

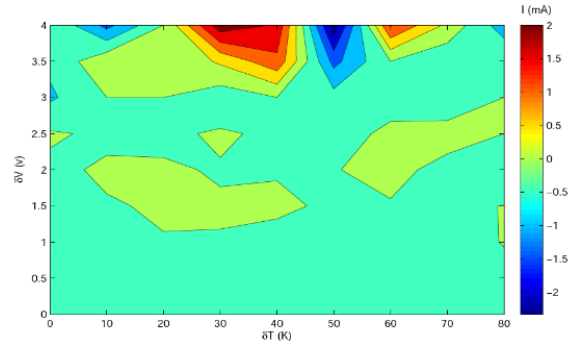
در حالی که برای سیستم های غیر منظم و ناپایدار توزیع به صورت ویگنر - دایسون است [۱۱]:

$$P_{WD} = \frac{\pi s}{2} e^{-\pi s^2/4} \quad (۱۰)$$

برای به دست آوردن تابع توزیع نزدیکترین فاصله ترازی، انرژی ترازاها را با کمک ویژه مقادیر ماتریس هامیلتونی به دست آورده، ترازاها را  $unfold$  کرده و تابع توزیع  $(P(s))$  ترازاها را جدیداً به کمک نرم افزار متلب رسم می کنیم. به طوری که در شکل ۳ نشان داده شده نمودار توزیع ترازاها به ازاء هر دو گرادیان دما به صورت پواسونی است که دلیل بر پایداری سیستم است.

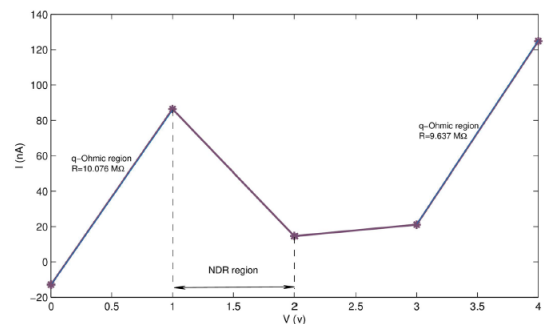


شکل ۴: توزیع آماری ترازاها (مقادیر عددی (خطوط نازک) و بهینه (خطوط ضخیم) برای گرادیان دما ی ۳۰ و ۵۰ کلون با گرادیان ولتاژ ۴ ولت.



شکل ۲: نمودار جریان برحسب گرادیان دما و گرادیان ولتاژ. نوار جریان، شدت جریان عبوری از سیستم

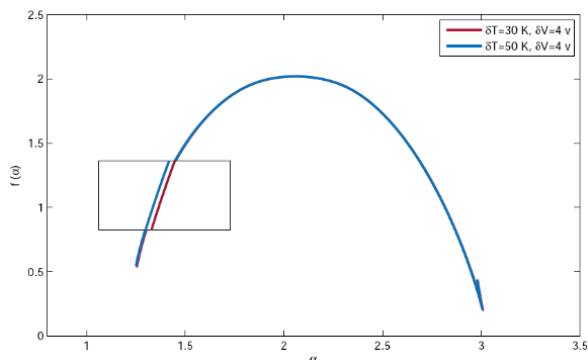
نمودار جریان به ازاء گرادیان ولتاژ خارجی به صورتی که در شکل ۳ نشان داده شده است به دست می آید. نواحی شبه اهمی و NDR کاملاً در نمودار مشخص است که بر این اساس می توانیم مقاومت سیستم را برای نواحی شبه اهمی به صورتی که در شکل ۳ مشخص است، محاسبه کنیم. با کمک مقاومت سیستم و جریان ناشی از گرادیان دما می توانیم مقدار ولتاژ تولیدی سیستم به ازاء گرادیان دما را داشته باشیم. نمودار اختلاف پتانسیل نیز همچون جریان، کاملاً صعودی بوده و حداکثر پتانسیل تولیدی برابر  $0.3 \text{ V}$  خواهد بود. علاوه بر آن توان تولیدی سیستم نیز بر اساس مقادیر به دست آمده قابل محاسبه است.



شکل ۳: نمودار جریان به ازاء گرادیان ولتاژ اعمال شده

حال با این گرادیان دما و ایجاد پتانسیل الکتریکی می توانیم ضریب سی بک را به دست آوریم. شارش جریان بار با اعمال اختلاف دما اساس پدیده ای است که به آن اثر سی بک گفته می شود. در ناحیه خطی که متناظر با اختلاف دماهای کوچک است، پتانسیل

برای فلزات به صورت خطی در نقطه  $\alpha = d$  با  $f(\alpha) = d$  خواهد بود که هرچه از فاز فلزی فاصله می‌گیرد، این خط بازتر می‌شود. از آنجایی که مفهوم غیرجای‌گزیدگی در فاز فلزی و جای‌گزیدگی در فاز عایق مطرح می‌شود، بحث درباره جای‌گزیدگی/غیرجای‌گزیدگی سیستم با کمک نمودار  $f(\alpha)$  صورت می‌گیرد. در این نمودار هرچقدر پهنای نمودار کم‌عرض‌تر باشد، به حالت غیرجای‌گزیده نزدیکتر خواهد بود. حداکثر مقدار  $f(\alpha)$  برابر با بعد سیستم خواهد بود که برای سیستم سیلندری شکل ما برابر ۲ است. به گونه‌ای که از شکل ۴ مشخص است، پهنای نمودار برای هر دو گرادیان دما تقریباً یکسان است. اما در صورتی که بخواهیم دقیق‌تر به مقایسه بپردازیم، با اختلاف جزئی به‌ازاء گرادیان دمای ۳۰ کلوین نمودار  $f(\alpha)$  کم‌عرض‌تر و لذا سیستم غیرجاگزیده‌تر خواهد بود. با استفاده از ویژه بردارهای ماتریس هامیلتونی و با کمک برنامه متلب می‌توان بعد فذکتالی سیستم را رسم کرد.



شکل ۵: نمودار بعد فرکتالی برای گرادیان دمای ۳۰ و ۵۰ کلوین با گرادیان ولتاژ ۴ ولت. پهنای نمودار گرادیان ۳۰ کلوین کمتر و نشان از غیرجای‌گزیده‌تر بودن سیستم دارد.

در ادامه برای تایید نتایج پایداری، از نمودار بعد فرکتالی سیستم کمک گرفته‌ایم. تحقیقاتی که دهه ۹۰ انجام شده نشان داده‌اند که توابع موج درگذار اندرسون، دامنه نوسانات قوی از خود به‌جا می‌گذارند که می‌توان با کمک مالتی فرکتالیته توابع موج توصیف شوند [۱۲].

همپوشانی این توابع با بعد فرکتالی مربوطه، یک تابع توزیع تحت عنوان  $f(\alpha)$  را ایجاد می‌کند که توزیع "نماهای مقیاس" را که با  $\alpha$  مشخص شده‌اند را نشان می‌دهد [۱۳]. محاسبه تابع توزیع به این صورت انجام می‌شود که در نقاط بحرانی ما می‌توانیم  $|\psi_n|^2$  را به عنوان ویژه حالت‌های نرمالایز که شامل یک هندسه  $L$  بعدی است در نظر بگیریم که با  $N$  جعبه به سایز  $i$  احاطه شود. احتمال یافتن ذره در  $i$  امین جعبه:

$$\mu_i(L) = \sum_{n=1} |\psi_n|^2 \quad (11)$$

ممنوم متناظر برای  $|\psi_n|^2$  ها به صورت:

$$P_q(L) = \sum_{n=1} \mu_i^q(L) \quad (12)$$

که متوسط ممنوم‌ها به صورت زیر تعریف می‌شود:

$$\langle P_q \rangle \approx L^{-\tau(q)} \quad (13)$$

بعد فرکتالی  $D(q)$  به صورت  $\tau_q = D_q(q-1)$  تعریف می‌شود. در فلزات مقدار  $D(q) = d$  و در مواد عایق برابر  $D(q) = 0$  است. درحالی‌که در نقاط بحرانی  $D(q)$  مقداری غیربدهی نسبت به  $q$  است که نشانگر مالتی فرکتال بودن توابع موج است. در تابع توزیع  $f(\alpha)$  از تبدیل لژاندر رابطه بعد  $D(q)$  به صورت زیر به دست می‌آید [۱۲]:

$$f(\alpha) = \alpha q - \tau_q \quad (14)$$

$f(\alpha)$  بعد فرکتالی مجموعه نقاطی است که شدت ویژه توابع به صورت  $|\psi^2| \approx L^{-\alpha}$  باشد. به عبارت دیگر در یک سیستم مدل تعداد چنین نقاطی به صورت  $L^{f(\alpha)}$  مقیاس می‌شود. نمودار  $f(\alpha)$

## بحث و نتیجه‌گیری

با الهام از این منابع طبیعی می‌توانیم منابع انرژی با حداقل آلودگی و عملکرد قابل توجه داشته باشیم. ما یک سیستم طبیعی، سیستم فتوسنتزی کلروزوم، را برای مطالعه انتخاب کردیم تا قابلیت این نوع سیستم را به عنوان مولد و یک ابزار ترموکارنت بررسی کنیم. حداکثر جریان ایجادشده در اثر گرادیان دما برابر  $nA$  ۳۶/۶ که امکان طراحی مولدهای انرژی سبز با حداکثر توان تولیدی  $nW$  ۱۱/۱ را به ما می‌دهد که قابل مقایسه با دیگر بایو باتری‌ها مانند سوخت‌های کربن فعال با توان  $mWcm^{-2}$  ۳۸/۵ [۱۴]، سوخت زغالی، سلول سوخت آنزیمی  $mWcm^{-2}$  ۰/۸ [۱۵] یا سلول سوختی میکروبی  $mWcm^{-2}$  ۲۸-۱۶ [۱۶] است. به طوری که قبلاً نیز اشاره کردیم از طریق اعمال گرادیان دما و پتانسیل سیستم دارای توانی معادل  $nW$  11.1 و برای نمایش ظرفیت ترموکارنت، ضریب سی‌بک حدوداً  $S = 5mV/K$  در دمای  $T_{hot} = 70 K$  دارد که در مقایسه با دیگر سیستم‌های بیولوژیک نسبتاً بالاست و نشان‌دهنده قابلیت بالای سیستم به عنوان منبع ترموکارنت است. به علاوه از طریق تحلیل توزیع آماری ترازها و بعد فرکتالی به مطالعه پایداری سیستم در دماهای پیشنهادشده توسط نمودار  $I - \delta V - \delta T$  پرداختیم که نشان از پایداری و غیرجای‌گزیده بودن این سیستم می‌دهد. در ساخت این نوع ابزار لازم است که به گرادیان دمای اعمالی دقت کافی جلب شود. کلروزوم به عنوان بخشی از یک سیستم طبیعی دارای محدودیت تحمل دمای اعمالی است. طبق آزمایشات صورت گرفته، و دمای بالاتر از  $370 K$  [۱۷] موجب گسستگی ساختار کلروزوم می‌گردد. لذا این نوع مولد در عین بهینه بودن و داشتن عملکرد مناسب، از پایداری قابل قبولی برخوردار نیست. برای حل این مورد نیز می‌توان از سیستم‌های هایبریدی که به صورت ترکیبی و اتصال با دیگر ساختارهای طبیعی ایجاد می‌گردد بهره برد. ساختارهایی چون ترکیب کلروزوم و DNA، یا ساختار ترکیبی از کلروزوم و گرافن، یا دیگر ساختارهای طبیعی پیشنهاد جالب توجهی در تولید ابزارهایی با عملکرد و پایداری بالا می‌تواند به شمار رود.

## References:

1. Armaroli N, Balzani V. The Future of Energy Supply: Challenges and Opportunities. *Angew. Chem. Int.* 2007; 46(1-2): 52-66.
2. Barber J. Photosynthetic energy conversion: natural and artificial. *Chem. Soc. Rev.* 2008; 38(1): 185-196.
3. Zhao L, Tan G, Hao S, He J, Pei Y, Chi H, Wang H, Gong S, Xu H, Dravid V P, Uher C, Snyder G J, Wolverton C, Kanatzidis M G, Ultrahigh power factor and thermoelectric performance in hole-doped single-crystal SnSe. *Science*, 2016; 351(6269): 141-144.
4. Hurtley S, Szuromi P. Nanoscale Thermoelectric Characterization. *Science*, 2004; 303(5659): 725.
5. Marquez A S, Chen L, Sunb K, Zhao Y. Probing ultrafast excitation energy transfer of the chlorosome with exciton-phonon variational dynamics. *Phys. Chem. Chem. Phys.* 2016; 18(30): 20298-20311.
6. Mohseni M, Omar Y, Engel G, Plenio M B. *Quantum Effects in Biology*, Cambridge University (2014).
7. Mentrup D, Schnack J. Nosé-Hoover dynamics for coherent states. *Physica A* 2001; 297(3-4): 337347.
8. Tang J K H, Xu Y, Muhlmann G M, Zare F, Khin Y, Tam S W. Temperature shift effect on the *Chlorobaculum tepidum* chlorosomes. *Photosynth. Res.* 2013; 115(1): 23-41.
9. Behnia S, Fathizadeh S, Ziaei J. Controlling charge current through a DNA based molecular transistor. *Phys. Lett. A* 2017; 381(1): 36-43.
10. Adam A M, Elsehly E M, Ataalla M, El-Khouly A, Nafady A, Diab A K. Preparation and thermoelectric power properties of highly doped p-type Sb<sub>2</sub>Te<sub>3</sub> thin films. *Physica E: Low-dimensional Systems and Nanostructures*, 2021; 1;127:114505.
11. Santos L F, Borgonovi F, Izrailev F M. Onset of chaos and relaxation in isolated systems of interacting spins: Energy shell approach. *Phys. Rev. E* 2012; 85(3): 036209.
12. Evers F, Mirlin A D. Anderson transitions. *Rev. Mod. Phys.* 2008; 80(4): 1355.
13. Hilborn R C. *Chaos and Nonlinear Dynamics: An Introduction for Scientists and Engineers*, 2nd Edition, Oxford University (2001).
14. Lan R, Tao S, A simple high-performance matrix-free biomass molten carbonate fuel cell without CO<sub>2</sub> recirculation. *Sci. Adv.* 2016; 2(8), e1600772.
15. Zhu Z, Tam T K, Sun F, You C, Zhang Y H P, A high-energy-density sugar biobattery based on a synthetic enzymatic pathway. *Nat. Commun.* 2014; 5, 3026.
16. Das K S, *Microbial Fuel Cells: A Path to Green, Renewable Energy. Practices and Perspectives in Sustainable Bioenergy. Green Energy and Technology.* 2020; 195-206.
17. Tang J K H, Xu Y, Muhlmann G M, Zare F, Khin Y, Tam S W, Temperature shift effect on the *Chlorobaculum tepidum* chlorosomes. *Photosynth. Res.* 2013; 115, 23-41.